

## ПРОСТРАНСТВЕННО-ВРЕМЕННЫЕ КОРРЕЛЯЦИИ ФОТОНОВ ПСЕВДОТЕПЛОВОГО ИСТОЧНИКА

В. С. Старовойтов\*, В. Н. Чижевский, Д. Б. Хорошко, С. Я. Килин

УДК 535.014

<https://doi.org/10.47612/0514-7506-2023-90-2-287-298>

Институт физики НАН Беларуси, Минск, Беларусь; e-mail: v.starovoitov@dragon.bas-net.by

(Поступила 21 февраля 2023)

На основе алгоритмов, учитывающих особенности высокоскоростной времязадающей матрицы детекторов одиночных фотонов, исследованы пространственно-временные корреляционные свойства псевдотеплового источника света сnano- и микросекундным временным разрешением. Показано, что изменение степени когерентности второго порядка излучения, рассеянного на вращающемся диске с разномасштабными неоднородностями, может быть представлено с помощью нелинейного гиперболического отображения. На основе представленного метода исследовано изменение корреляций при переходе создаваемого потока фотонов от когерентного к псевдотепловому.

**Ключевые слова:** корреляции фотонов, детектирование одиночных фотонов, рассеяние на вращающемся диске, спекл-структуры, корреляционная функция второго порядка.

*On the basis of algorithms that take into account the features of a high-speed time-resolving matrix of single photon detectors, the spatio-temporal correlation properties of a pseudo-thermal light source with nano- and microsecond time resolution are studied. It is shown that the change in the degree of coherence of the second order of radiation scattered on a rotating disk with irregularities of different scales can be represented universally using a nonlinear hyperbolic mapping. Based on the presented method, the change in correlations during the transition of the generated photon flux from coherent to pseudo-thermal is studied.*

**Keywords:** photon correlations, single photon detection, scattering on rotating disk, speckle patterns, second order correlation function.

**Введение.** Одно из проявлений квантовой структуры света — превращение фотона в свободный фотоэлектрон дискретным образом в процессе фотоионизации. История становления квантовой теории света [1] содержит определенные этапы экспериментального наблюдения фотонной структуры излучения. С. И. Вавилов, со школой которого связана деятельность академика Б. И. Степанова, был одним из первых, кто осуществил наблюдение корпускулярной структуры света с помощью уникальных свойств человеческого глаза как детектора флуктуаций интенсивности светового потока на уровне одиночных фотонов [2, 3]. Фотонная структура света проявляется не только во флуктуациях числа фотонов, но и при измерении их корреляций в различных пространственно-временных точках. Началом развития современной квантовой оптики и теории оптической когерентности [4—6] можно считать первые эксперименты по измерению корреляционной функции интенсивности теплового излучения звезд, выполненные Хенбери Брауном и Твиссом [7]. С этого времени корреляционные функции интенсивности света широко используются для изучения свойств излучения различных источников: лазеров [8], параметрического рассеяния света [9, 10], одиночных фотонов, генерируемых как условно [11, 12], так и безусловно одиночными квантовыми точками [13], молекулами [14] или центрами окраски в алмазе [15], а также источников субпуассоновских полей [16, 17], важных для таких приложений, как квантовая криптография [18, 19], квантовая телепортация [20, 21] и квантовые компьютеры [22]. Современное состояние экспериментальной техники позволяет измерять корреляционные функции до восьмого порядка [23] и изучать различные свойства фотонов.

---

**SPATIO-TEMPORAL CORRELATIONS OF PHOTONS FROM A PSEUDO-THERMAL SOURCE**  
V. S. Starovoitov\*, V. N. Chizhevsky, D. B. Horoshko, S. Ya. Kilin (B. I. Stepanov Institute of Physics of the National Academy of Sciences of Belarus, Minsk, Belarus; e-mail: v.starovoitov@dragon.bas-net.by)

Особое место среди корреляционных функций разного порядка занимает нормированная временная корреляционная функция интенсивности второго порядка  $g^{(2)}(\tau)$ , значение которой при временном сдвиге  $\tau = 0$  означает группировку ( $g^{(2)}(0) > 1$ ) или антигруппировку фотонов ( $g^{(2)}(0) < 1$ ), причем последняя является чисто квантовым свойством света [6]. Создание фантомных изображений высокого пространственного разрешения [24—28] сопряжено с излучением, обладающим компактно локализованной функцией  $g^{(2)}(\tau)$  с максимальным значением  $g^{(2)}(0) = 2$ , типичным для некогерентного хаотического поля.

Наряду с временными корреляциями интерес представляют пространственные корреляции фотонов. Ранее для таких измерений использовались сигналы с нескольких, обычно двух детекторов одиночных фотонов, что ограничивало получаемую выборку данных о распределенных корреляциях фотонов. В последнее время для их изучения применяются матрицы детекторов одиночных фотонов (МДОФ), обеспечивающие быстрый набор данных для статистического анализа. Однако конструктивные особенности функционирования таких детекторов требуют специальных методов обработки результатов.

В настоящей работе представлен анализ данных, полученных с помощью МДОФ [29, 30], приведены статистические методы их обработки, позволяющие уменьшить влияние систематических и случайных ошибок МДОФ, а также изучены пространственно-временные корреляции фотонов псевдотеплового источника, сформированного квазимохроматическим лазерным лучом, прошедшим через вращающийся шероховатый диск [26, 27, 31—34]. На основе предложенных методов обработки “сырых” данных фотоотсчетов МДОФ определены характеристики пространственно-временных корреляций пучков фотонов, варьируемых от когерентного до псевдотеплового.

**Эксперимент.** Поток псевдотепловых фотонов формировался излучением лазера  $S$ , проходящим через линзы  $L_1$  и  $L_2$  и расположенный между ними вращающийся полупрозрачный диск  $D$  (рис. 1). В качестве лазера использован полупроводниковый лазерный диод Фабри—Перо непрерывного действия с волоконно-оптическим выводом излучения 670 нм через одномодовое оптическое поляризационно-поддерживающее волокно. Лазерный диод работал в припороговом режиме при постоянном токе и термостабилизации. Мощность выводимого излучения  $\leq 5$  мВт. Выводимый луч диаметром 1.4 мм коллимирован, с гауссовым профилем в поперечном сечении. Линза  $L_1$  с фокусом 50 мм фокусировала излучение лазера в пятно радиусом  $w$  на вращающийся диск  $D$  с матовой поверхностью со случайной структурой, рассеивающей излучение в широком телесном угле. Рассеянные фотоны, формирующие случайные спекл-структуры, демонстрируют [23—25, 31—34] корреляции, зависящие от радиуса пятна  $w$ , варьируемого изменением расстояния  $|L_1D|$ . Оптическая ось и ось вращения диска расположены на расстоянии  $r = 30$  мм друг от друга. Диск вращался с угловой скоростью  $v = 10$  Гц. Линза  $L_2$ , установленная на фокусном расстоянии  $F = |DL_2| = 80$  мм от диска, коллимировала рассеиваемые диском фотоны в направлении к МДОФ ( $C$ ), расположенной на расстоянии  $|DC| = 350$  мм от диска, через ослабитель  $A$ , уменьшающий падающий на МДОФ поток фотонов до среднего уровня двух отсчетов за время регистрации, обеспечивающее наблюдение парных отсчетов.

Свойства данного источника псевдотепловых фотонов проанализированы для трех конфигураций оптических элементов:  $\Phi_1$  — диск  $D$  отсутствует в оптической схеме,  $\Phi_2$  — диск  $D$  установлен от линзы  $L_1$  на расстоянии  $|L_1D| = 40$  мм с радиусом освещаемого пятна на диске  $w_2 = 141$  мкм,  $\Phi_3$  — диск  $D$  установлен на расстоянии  $|L_1D| = 48$  мм с радиусом пятна  $w_3 = 32$  мкм.

Детектирование фотонов осуществлялось с помощью высокоскоростной время-разрешающей МДОФ SuperEllen [29, 30]. МДОФ снабжена встроенным узкополосным интерференционным фильтром с максимумом пропускания вблизи 670 нм и полосой пропускания  $\sim 20$  нм. Фотоприемная часть МДОФ размером  $1.4 \times 1.4$  мм<sup>2</sup> образована матрицей из  $32 \times 32 = 1024$  кремниевых лавинных детекторов одиночных фотонов, изготовленных по 150-нм КМОП-технологии [27] и снабженных собственной оцифровкой времени отсчета. Пиксельная структура расположения детекторов — квадратная, с расстоянием между центрами пикселей  $\delta_s = 44.67$  мкм (рис. 1,  $\Phi_2$ ). Детекторы индексировались последовательно, начиная с левого крайнего  $k = 1$  вверх, затем по рядам до крайнего правого  $k = 1024$ . Соотношения  $i_k = \text{fix}[(k-1)/32]$ ,  $j_k = \text{mod}(k-1, 32)$  устанавливают взаимно однозначное соответствие между индексом детектора  $k$  и его физическими координатами  $x_k = i_k \delta_s$ ,  $y_k = j_k \delta_s$ , ( $i_k, j_k \in [0, 31]$ ) на входной плоскости ( $X_C O Y_C$ ) МДОФ. Эффективность каждого детектора в зависимости от длины волны варьировалась от 5 % (400 нм) до 0.8 % (810 нм).

Периодически, с частотой  $1/T_f$  все детекторы матрицы синхронно перезаряжались и на время  $T_{\text{gate}}$  ( $T_{\text{gate}} \leq 102$  нс  $\ll T_f$ ) переводились в режим регистрации фотонов. Аппаратный интервал временной дискретизации  $\tau_{\text{res}} \approx 400$  пс, количество интервалов 256. Время отсчета  $k$ -го детектора  $\theta_k$  преобразовывалось в номер соответствующего интервала  $p_k$ . Времена отсчетов  $p_k$  для всех детекторов записывались параллельно и независимо друг от друга. Детекторы, не зарегистрировавшие фотоотсчеты, при формировании массива данных  $D = \{(N, k, p_k)\}$  не учитывались ( $N$  — порядковый номер цикла регистрации). По истечении времени  $T_{\text{gate}}$  все детекторы матрицы синхронно разряжались и переводились в неактивное состояние. После сохранения данных через промежуток  $T_f$  режим регистрации включался вновь в момент времени  $t(N) = NT_f$ . Частота циклов регистрации  $1/T_f$  варьировалась от 300 до 600 кГц, будучи ограниченной увеличением скорости “темновых” отсчетов.

Регистрация и последующее сохранение массива данных  $D = \{(N, k, p_k)\}$  на компьютере проводились в “потоковом” режиме на протяжении нескольких часов измерений. Полное число проведенных измерений  $N_{\text{tot}}$ , равное числу выполненных циклов регистрации как с отсчетами, так и в их отсутствие у всех детекторов матрицы (такие “нулевые” циклы не записывались в сохраняемый массив данных), составляло в среднем  $10^9$  измерений для каждой конфигурации источника псевдотепловых фотонов ( $N_{\text{tot}} = 2.29, 1.56$  и  $0.85 \cdot 10^9$  для конфигураций  $\Phi_1, \Phi_2$  и  $\Phi_3$  соответственно). Среднее суммарное число отсчетов всех детекторов МДОФ составляло  $\sim 2$  за время  $T_{\text{gate}}$ , а среднее число “темновых” срабатываний всех детекторов  $\sim 0.1$ .

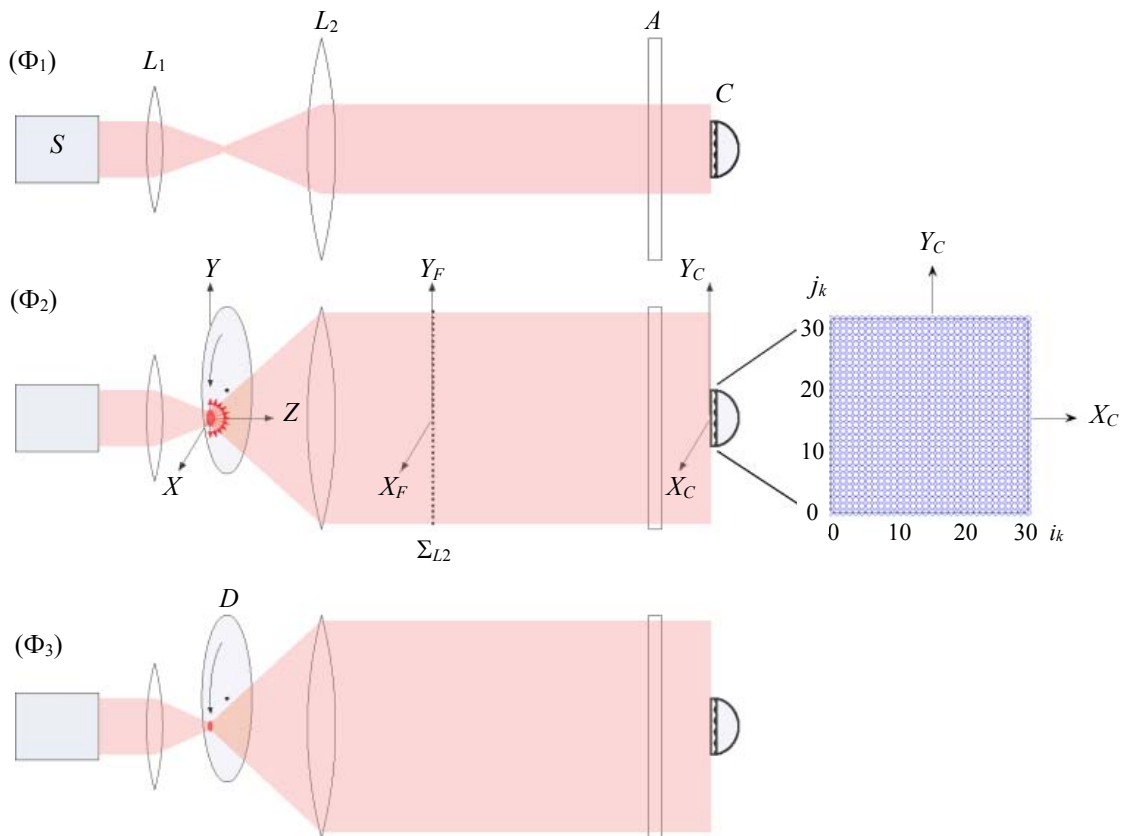


Рис. 1. Принципиальная схема определения пространственно-временных корреляционных свойств излучения псевдотепловых фотонов:  $S$  — лазер;  $L_1, L_2$  — линзы;  $D$  — вращающийся полупрозрачный диск;  $A$  — ослабитель;  $C$  — МДОФ с квадратной фотоприемной частью  $1.4 \times 1.4 \text{ mm}^2$  из 1024 фотодиодов (врезка на  $\Phi_2$ ); эксперимент выполнен для трех конфигураций оптических элементов: диск  $D$  отсутствует в оптической схеме  $(\Phi_1)$ , диск  $D$  установлен на расстоянии  $|L_1 D| = 40 \text{ mm}$  ( $\Phi_2$ ) или  $48 \text{ mm}$  ( $\Phi_3$ ) от линзы  $L_1$  с фокусом  $50 \text{ mm}$ ;  $XY, X_F Y_F$  и  $X_C Y_C$  — перпендикулярные оптической оси  $Z$  плоскость диска  $D$ , фокальная плоскость  $\Sigma_{L2}$  линзы  $L_2$  и плоскость расположения фотоприемной части МДОФ соответственно

Записанный массив данных  $D$  содержал “сырую” информацию о потоке фотонов виде пространственно-временных случайных фотоэлектронных отсчетов, полученных матрицей неидеальных детекторов одиночных фотонов. Статистические способы обработки полученных данных для извлечения информации о корреляционных свойствах фотоэлектронов и фотонов с учетом особенностей записи данных и работы МДОФ, например перекрестного cross-talking-эффекта, возникающего между соседними детекторами, представлены ниже.

**Статистическая обработка “сырых” данных: определение пространственно-временных корреляций фотонов.** Из полученных “сырых” данных вычислялись вероятности отсчетов одного или пары детекторов, пропорциональных интенсивности

$$G^{(1,1)}(r, t) = \langle \hat{E}^{(-)}(r, t) \hat{E}^{(+)}(r, t) \rangle \quad (1)$$

или корреляционным функциям второго порядка интенсивности

$$G^{(2,2)}(r_1, t_1; r_2, t_2) = \langle \hat{E}^{(-)}(r_1, t_1) \hat{E}^{(-)}(r_2, t_2) \hat{E}^{(+)}(r_2, t_2) \hat{E}^{(+)}(r_1, t_1) \rangle \quad (2)$$

поля в одной или двух пространственно-временных точках [4] с координатами  $r_1, r_2$  в плоскости ( $X_C Y_C$ ) МДОФ (рис. 1). Так, вероятность  $\Gamma^{(1)}[k, p]$  отсчета  $k$ -го детектора во временном интервале  $p$ , пропорциональная интенсивности поля  $G^{(1,1)}(r_k, \tau_{\text{res}} p)$ , рассчитывалась как отношение числа ненулевых элементов массива данных  $D$  с фиксированными значениями  $k$  и  $p$  к полному числу  $N_{\text{Tot}}$  выполненных циклов регистрации (рис. 2, *a*). Для уменьшения влияния темновых отсчетов вводилось эффективное время  $T_{\text{gate}}^* = p^* \tau_{\text{res}} < T_{\text{gate}} = 256 \tau_{\text{res}}$  путем обнуления элементов массива  $D$  для  $p > p^*$ . Во всех измерениях интервал регистрации  $T_{\text{gate}}^* = 10$  нс соответствует 25 окнам дискретизации наносекундного диапазона. Обнаруженные в эксперименте временные осцилляции интенсивности  $\Gamma^{(1)}[k, p]$  с периодом  $4\tau_{\text{res}}$  являются аппаратной особенностью используемой МДОФ, так как они наблюдаются и в отсутствие излучения.

Интегральная вероятность отсчета  $k$ -го детектора за период регистрации безотносительно к моменту его появления, равная сумме  $\Gamma^{(1)}[k] = \sum_p \Gamma^{(1)}[k, p]$ , пропорциональна интегральной интенсивности фотонов  $\int_0^{T_{\text{gate}}} dt G^{(1,1)}(r_k, t)$  в точках расположения детекторов.

Вероятность задержанных совпадений  $\Gamma^{(2)}[k, m, s]$  двух детекторов  $k$  и  $m$  с интервальным временем задержки между ними  $s \in [-255, 255]$  рассчитывалась как отношение числа ненулевых элементов массива данных  $D$  с фиксированными значениями  $(k, p)$  и  $(m, p+s)$  к полному числу  $N_{\text{Tot}}$  выполненных циклов регистрации с последующим суммированием по индексу  $p$ . Вероятность  $\Gamma^{(2)}[k, m, s]$  пропорциональна интегралу от полевой корреляционной функции интенсивностей (2) второго порядка  $\int_0^{T_{\text{gate}}} dt G^{(2,2)}(r_k, t; r_m, t + s\tau_{\text{res}})$ . Сумма  $\Gamma^{(2)}[k, m] = \sum_{s=-255}^{255} \Gamma^{(2)}[k, m, s]$  определяет вероятность парных совпадений отсчетов детекторов  $k$  и  $m$  за время одного цикла регистрации безотносительно к моментам этих отсчетов, пропорциональную следующему интегралу от полевой функции:  $\int_0^{T_{\text{gate}}} dt \int_t^{T_{\text{gate}}} dt' G^{(2,2)}(r_k, t; r_m, t')$ . На рис. 2, *b* на примере зависимости вероятности парных совпадений  $\Gamma^{(2)}[k, m, s]$  двух детекторов в центре МДОФ от временной задержки отсчетов продемонстрировано наличие временной группировки фотонов исследуемого источника. Отметим, что  $\Gamma^{(2)}[k, k, s] = 0$ , так как каждый on/off-детектор МДОФ генерирует только один отсчет за один цикл регистрации;  $\Gamma^{(2)}[k, m, s] = \Gamma^{(2)}[m, k, -s]$ .

В случае, когда отсчеты детекторов  $k$  и  $m$  происходят независимо, вероятность их совпадений факторизуется:  $\Gamma^{(2)}[k, p; m, p+s] = \Gamma^{(1)}[k, p] \Gamma^{(1)}[m, p+s]$ . Для оценки отклонения от случая независимости отсчетов вводят степень коррелированности fotoотсчетов:

$$g^{(2)}[k, m, s] = \Gamma^{(2)}[k, m, s] / C_F[k, m, s], \quad (3)$$

где  $C_F[k, m, s] = \sum_{p=0}^{255} \Gamma^{(1)}[k, p] \Gamma^{(1)}[m, p+s]$  — вероятность задержанных совпадений для независимых случайных fotoотсчетов. Степень коррелированности отсчетов (3) равна пространственно-временной степени когерентности второго порядка  $\int_0^{T_{\text{gate}}} dt G^{(2,2)}(r_k, t; r_m, t + s\tau_{\text{res}}) / \int_0^{T_{\text{gate}}} dt G^{(1,1)}(r_k, t) G^{(1,1)}(r_m, t + s\tau_{\text{res}})$  сдвинутых во времени полей в точках  $r_k$  и  $r_m$ , которая переходит в  $G^{(2,2)}(r_k, t; r_m, t + s\tau_{\text{res}}) / G^{(1,1)}(r_k, t) G^{(1,1)}(r_m, t + s\tau_{\text{res}})$  в стационарном случае.

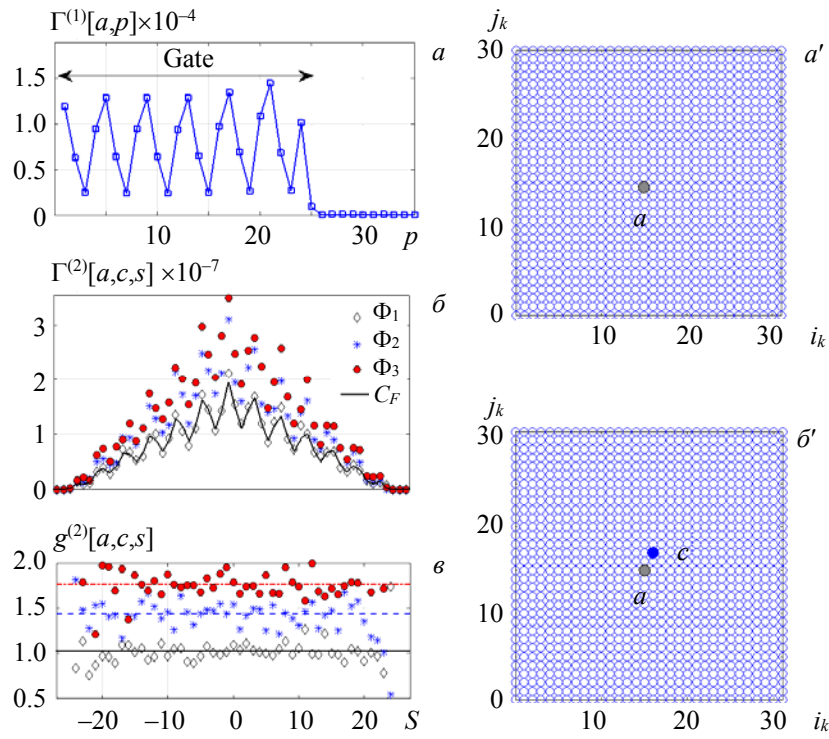


Рис. 2. Временная зависимость (а) вероятности отсчетов  $\Gamma^{(1)}[a, p]$  центрального детектора  $a = 496$  ( $i_k = 15, j_k = 15$ ) (детектор  $a$  на врезке  $a'$ ) в интервале  $[0, T_{\text{gate}}]$ ; б — вероятность задержанных во времени на интервал  $s$  совпадений фотоотсчетов  $\Gamma^{(2)}[a, c, s]$  детекторов  $a = 496(15, 15)$  и  $c = 530(16, 17)$ , расположенных в центральной части фотоприемной поверхности МДОФ ( $a$  и  $c$  на врезке  $b'$ ); в — степень коррелированности (3)  $g^{(2)}[a, c, s]$  отсчетов детекторов  $a$  и  $c$ ; результаты представлены для конфигураций  $\Phi_1$ ,  $\Phi_2$  и  $\Phi_3$ ;  $C_F[a, c, s]$  — вероятность задержанных совпадений для пуссоновских потоков фотоотсчетов для конфигурации  $\Phi_1$ ; усредненные значения  $\bar{g}^{(2)}[a, c]$  (4) для  $\Phi_1$ ,  $\Phi_2$  и  $\Phi_3$  — сплошная, штриховая линии и штрихпунктир соответственно

Для исследуемого источника парная степень когерентности  $g^{(2)}[k, m, s]$  слабо зависит от времени задержки  $s t_{\text{res}}$  (рис. 2, в), поэтому степень пространственной когерентности фотонов  $g^{(2)}[k, m, s = 0]$  можно также характеризовать функцией (3), усредненной по индексу  $s$  с весовой функцией  $C_F[k, m, s]$ :

$$\bar{g}^{(2)}[k, m] = \langle g^{(2)}[k, m, s] \rangle_s = \Gamma^{(2)}[k, m] / \Gamma^{(1)}[k] \Gamma^{(1)}[m], \quad (4)$$

которая в большей степени устойчива к аппаратным флуктуациям, чем  $g^{(2)}[k, m, s = 0]$  (рис. 2, в).

“Сырой” массив данных  $D = \{N, k, p_k\}$  может быть использован для представления корреляционных свойств фотоотсчетов, происходящих в интервалах длительностью  $T_{\text{gate}}$ , эквидистантно расположенных с периодом  $T_f$ . Для этого проводится “огрубление” сырого массива данных: из восьмиразрядного вектора  $p_k$  образуется случайная бинарная функция  $I[k, N]$ , равная 1 или 0, в зависимости от того, был или не был отсчет  $k$ -го детектора в период регистрации с номером  $N$ . Данное представление позволяет исследовать корреляционные свойства источника в микросекундном масштабе времени порядка  $T_f$ . Так, огрубленная степень когерентности второго порядка фотоотсчетов, задержанных на время  $T_f S$ , определяется выражением

$$\tilde{g}^{(2)}[k, m, S] = \langle I[k, N] I[m, N + S] \rangle_N / \langle I[k, N] \rangle_N \langle I[m, N] \rangle_N, \quad (5)$$

где  $\langle F(N, S) \rangle_N = (N_{\text{Tot}} - S)^{-1} \sum_{N=1}^{N_{\text{Tot}}-S} F(N, S)$  — усреднение по реализациям циклов регистрации. Представленные на рис. 3 огрубленные функции  $\tilde{g}^{(2)}[k, m, S]$  демонстрируют изменение степени временной корреляции псевдотепловых потоков фотонов микросекундного масштаба, а также их чувствительность к деталям формирования потока фотонов при рассеянии на диске: наблюдается сдвиг мак-

симума  $\tilde{g}^{(2)}[k, m, S]$  для детекторов, смешенныхных друг относительно друга на  $(\Delta j)_{km} = j_k - j_m$  вдоль направления  $Y$  линейного перемещения спектр-структурь вращающимся диском  $D$ . На рис. 3 также показано, что пространственная степень когерентности  $g^{(2)}[k, m, S=0]$  и степень когерентности  $\tilde{g}^{(2)}[k, m, S]$  совпадают в соответствии с их определением.

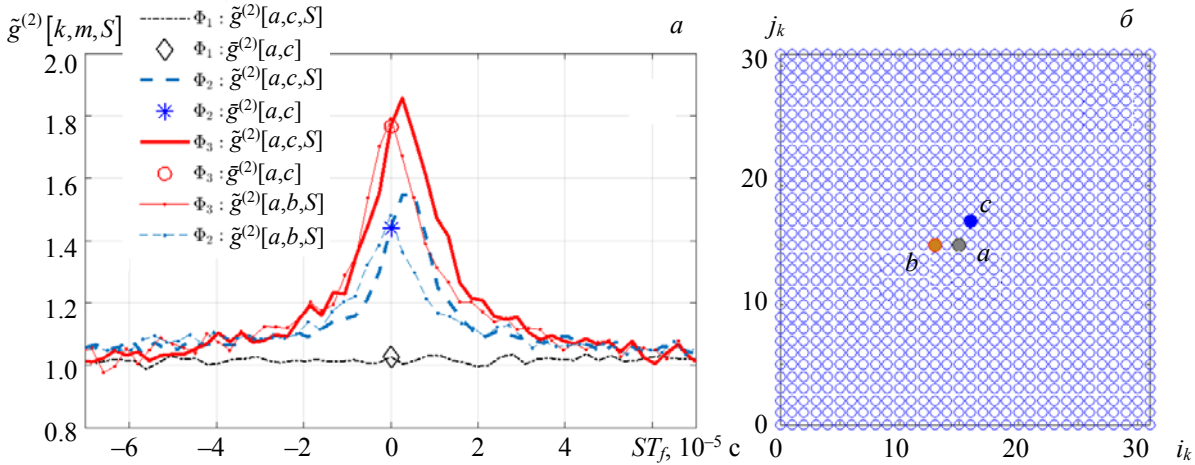


Рис. 3. Огрубленная корреляционная функция  $\tilde{g}^{(2)}[k, m, S]$  (5) для центрального детектора  $k=a=496(15,15)$  (детектор  $a$  на рис. 3,  $\delta$ ) и двух детекторов  $m=b=432(13,15)$  (детектор  $b$  на рис. 3,  $\delta$ ) и  $m=c=530(16,17)$  (детектор  $c$  на рис. 3,  $\delta$ ) и жирные линии на рис. 3,  $a$ ) из второй координационной группы 16 детекторов, расположенной за первой группой восьми детекторов, ближайших к детектору  $k$ . Значения приведены для трех конфигураций эксперимента:  $\Phi_1$  (штрихпунктир),  $\Phi_2$  (штриховая) и  $\Phi_3$  (сплошная линия). Значения  $\bar{g}^{(2)}[a, c]$  (4) для соответствующих конфигураций отображены символами  $\diamond$  ( $\Phi_1$ ),  $*$  ( $\Phi_2$ ) и  $\circ$  ( $\Phi_3$ )

Распределение  $f(n)$  числа фотоотсчетов  $n = \sum_k I(k, N)$ , генерируемых суммарно всеми детекторами МДОФ за время регистрации  $T_{\text{gate}}$ , позволяет судить о статистике интегрального числа фотонов в потоке, падающем на фотоприемную часть МДОФ. Полученные распределения (рис. 4) показывают, что статистика интегрального числа фотоотсчетов изменяется, переходя (неравномерно по  $n$ ) от пуссоновской в сторону бозе-эйнштейновской при уменьшении размера рассеивающего пятна на диске. Степень когерентности второго порядка [5]:

$$g^{(2)}(0) = (\langle n^2 \rangle_f - \langle n \rangle_f) / \langle n^2 \rangle_f, \quad (6)$$

вычисляемая через моменты распределения  $f(n)$ , принимает значения 1.01, 1.10 и 1.32 для данных, полученных в конфигурациях  $\Phi_1$ ,  $\Phi_2$  и  $\Phi_3$  соответственно. Очевидно, имеют место равенства  $g^{(2)}(0) = \langle \bar{g}^{(2)}[k, m] \rangle_{k, m} = \langle \tilde{g}^{(2)}[k, m, S=0] \rangle_{k, m}$ .

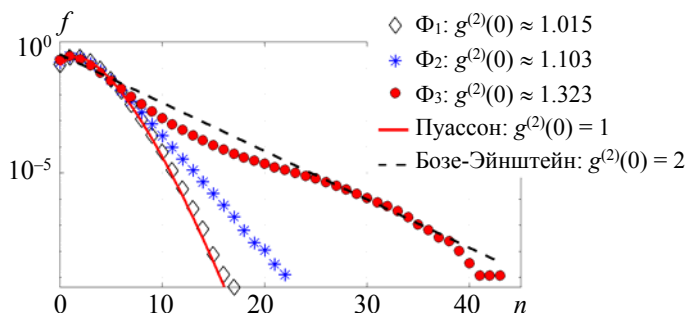


Рис. 4. Распределение  $f(n)$  суммарного числа отсчетов  $n$  всех детекторов МДОФ за время  $T_{\text{gate}}$  для конфигураций  $\Phi_1$  ( $\diamond$ ),  $\Phi_2$  ( $*$ ) и  $\Phi_3$  ( $\bullet$ ); сплошная и штриховая линии — функции распределения Пуассона и Бозе—Эйнштейна

Пространственное распределение парных корреляций фотоотсчетов можно рассматривать как распределение парных отсчетов выделенного детектора  $k = M$  с остальными  $k \neq M$ , используя при этом физическую систему координат  $(i_k, j_k)$  индексации детекторов. Степень пространственной когерентности корреляций в геометрии с выделенным детектором, согласно (4), описывается массивом  $32 \times 32$

$$\bar{g}_M^{(2)}(k) = \bar{g}^{(2)}[k(i_k, j_k); m = M(i_M, j_M)], \quad (7)$$

при этом  $\bar{g}_M^{(2)}(M) = 0$ . Случайный характер зарегистрированных двумерных распределений  $\bar{g}_{M=496}^{(2)}(k)$  (рис. 5, в—д) и оптическая схема образования поля квазитеплового источника позволяют сделать предположение о статистической пространственной однородности по поперечным координатам [5] исследуемых световых пучков. Это означает, что функции (4) и (7) зависят только от разности координат:

$$\bar{g}_M^{(2)}(k) = \bar{g}_M^{(2)}(i_k - i_M, j_k - j_M). \quad (8)$$

Следовательно, можно рассматривать все 1024 массива  $\bar{g}_M^{(2)}(k)$  с разными  $M$  как результаты повторений одного эксперимента  $M$  раз ( $M$  — номер эксперимента). Рассматривая  $i = i_k - i_M$ ,  $j = j_k - j_M$  как новые независимые переменные с областью изменения  $i, j \in [-31, 31]$ ,

$$\bar{g}_M^{(2)}(i, j) = \sum_{k=1}^{1024} \bar{g}_M^{(2)}(k) \delta_{i_k - i_M} \delta_{j_k - j_M} \quad (9)$$

— как запись функции (8) в этих переменных, а также вводя индикаторную (или характеристическую) функцию ненулевых значений  $\bar{g}_M^{(2)}(i, j)$

$$\mathbf{1}_{M(\bar{g}_M^{(2)} \neq 0)}(i, j) = \sum_{k=1}^{1024} \delta_{i_k - i_M} \delta_{j_k - j_M}, \quad (10)$$

записываем усредненную по  $M$  экспериментам “поперечную” степень когерентности (9) в виде

$$\hat{g}_\perp^{(2)}(i, j) = \left\langle \bar{g}_M^{(2)}(i, j) \right\rangle = \sum_{M=1}^{1024} \bar{g}_M^{(2)}(i, j) / \sum_{M=1}^{1024} \mathbf{1}_M(i, j). \quad (11)$$

На рис. 5 продемонстрированы особенности, которые необходимо учитывать для извлечения статистических характеристик потока фотонов из статистических данных о фотоотсчетах. Рассчитанные по (11) усредненные степени когерентности представлены на рис. 5, е.

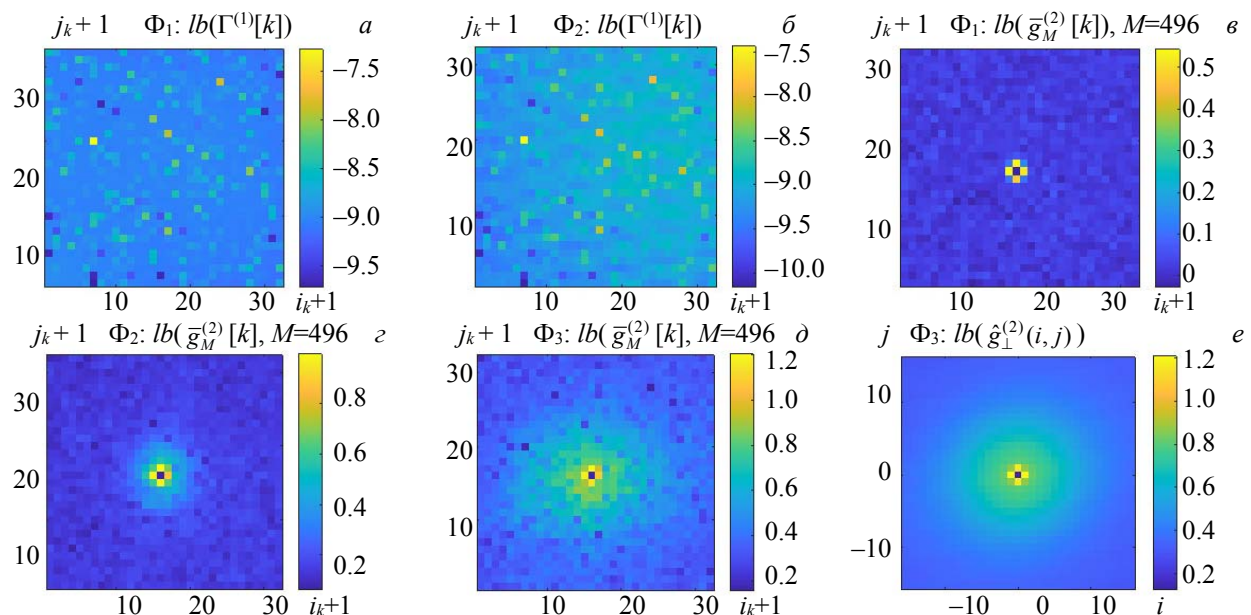


Рис. 5. Поперечные распределения двоичных логарифмов интегральной вероятности отсчетов  $\Gamma^{(1)}[k]$  в физических координатах  $(i_k, j_k)$  для конфигураций  $\Phi_1$  (а) и  $\Phi_2$  (б) и степени поперечной корреляции второго порядка  $\bar{g}_M^{(2)}(k)$  (7) в схеме с выделенным детектором  $M = 496(15, 15)$  для конфигураций  $\Phi_1$  (в),  $\Phi_2$  (г) и  $\Phi_3$  (д);  $e$  — двоичный логарифм усредненной “поперечной” степени корреляции отсчетов  $\hat{g}_\perp^{(2)}(i, j)$  (11) для конфигурации  $\Phi_3$  в относительных физических координатах  $(i, j)$

**Корреляции ближнего порядка.** Невозможность двойных отсчетов на одном детекторе ( $\bar{g}_M^{(2)}(M) = \hat{g}_\perp^{(2)}(0,0) = 0$ ), отображенная на рис. 5, *в*—*е*, не позволяет измерить совпадающие корреляции фотонов прямым образом. Корреляции с детекторами, ближайшими к “центральному” ( $i_M \pm 1, j_M$ ), ( $i_M, j_M \pm 1$ ) (рис. 5, *в*—*д*) или ( $\pm 1, 0$ ), ( $0, \pm 1$ ) (рис. 5, *е*), также обладают специфической особенностью. Преимущественный вклад этих детекторов в поперечное распределение корреляций, изображенный четырьмя наиболее яркими пикселями, сохраняется для когерентных лазерных пучков (рис. 5, *е*), для которых должно выполняться равенство  $\bar{g}_M^{(2)} = \hat{g}_\perp^{(2)} = 1$  во всей области измерения. Следовательно, данный перекрестный эффект необходимо также относить к аппаратным искажениям и учитывать при обработке полученных результатов [28]. При этом перекрестный эффект охватывает значительную часть детекторов камеры, что проявляется в его сохранении после усреднения по детекторам (рис. 5, *е*). В случаях  $\Phi_2$  (рис. 5, *г*) и  $\Phi_3$  (рис. 5, *д*), когда регистрируется поток поперечно коррелированных фотонов с максимальной корреляцией между ближайшими точками, процедура отбраковки аппаратного эффекта cross-talking особенно важна.

**Случайные анткорреляции дальнего порядка.** Измерения показывают, что степень поперечной когерентности  $\bar{g}_M^{(2)}(k)$  искажается и несистематическими “случайными” дефектами, распределенными по всем детекторам камеры. Наибольшие искажения проявляются для конфигурации  $\Phi_3$ . Эти искажения связываем с проявлением эффекта “горячего” детектора, когда отдельные детекторы являются аномально чувствительными к внутренним шумам МДОФ. Отсчет “горячего” детектора, вызванный не фотоном, исключает его срабатывание до следующей перезарядки, что приводит к пониженному вкладу данного детектора в регистрации парных совпадений фотонов. Чем сильнее эффект “горячего” детектора, например  $k_1$ , тем выше вероятность  $\Gamma^{(1)}[k_1]$  и одновременно ниже  $\bar{g}_M^{(2)}(k_1)$ . Сравнение рис. 5, *г*, *д* с рис. 5, *а*, *б* показывает примерное совпадение положений темных пикселей в изображении  $\bar{g}_M^{(2)}(k)$  с яркими в изображении интенсивности  $\Gamma^{(1)}[k]$ , которые случайным образом распределены по детекторам (случайные анткорреляции дальнего порядка). Усредненная “поперечная” степень корреляции отсчетов  $\hat{g}_\perp^{(2)}(i, j)$  отмеченные несистематические случайные анткорреляции не содержит (рис. 5, *е*).

**Результаты и их обсуждение.** Электромагнитное поле  $\hat{E}_D^{(-)}(r, t)$  в плоскости  $(XY)$  вращающегося диска  $D$  (рис. 1) представляет собой сумму когерентных полей, рассеянных в широком диапазоне направлений неоднородностями диска после прохождения линзы  $L_2$ , и образует в ее фокальной плоскости  $(X_F Y_F)$ , обозначенной  $\Sigma_{L_2}$ , поле  $\hat{E}_F^{(-)}(r, t)$ , являющееся Фурье-преобразованием по поперечным координатам поля  $\hat{E}_D^{(-)}(r, t)$  [35]. Свободное распространение и ослабление аттенюатором  $A$  преобразует данное поле со спекл-структурой в поле  $\hat{E}^{(-)}(r, t) = \hat{E}_C^{(-)}(r, t)$  в плоскости  $(X_C Y_C)$ , небольшая центральная часть которого регистрируется МДОФ. Анализ измеренных корреляционных функций второго порядка интенсивности (2) является относительно простой задачей для тепловых полей  $\hat{E}^{(-)}(r, t)$ , образующихся в случаях, когда пространственный масштаб  $\Delta_r$  неоднородностей диска  $D$  значительно меньше радиуса освещаемого пятна  $w$ , что приводит к стационарным пространственно-однородным гауссовым полям со спекл-структурой, которые характеризуются степенью когерентности стандартного вида

$$g^{(2)}(r - r', t - t') = G^{(2,2)}(r, t; r', t') / G^{(1,1)}(r, t)G^{(1,1)}(r', t') = 1 + |g^{(1)}(r - r', t - t')|^2, \quad (12)$$

где  $g^{(1)}(r - r', t - t') = G^{(1,1)}(r, t; r', t') / \sqrt{G^{(1,1)}(r, t)G^{(1,1)}(r', t')}$  — нормированная корреляционная функция первого порядка [5]. Очевидно, что для таких полей  $g^{(2)}(0) = 2$ , а измерение  $g^{(2)}(\rho, \tau)$  соответствует измерению функции  $|g^{(1)}(\rho, \tau)|$ , которая характеризуется временем и поперечным радиусом когерентности

$$t_c \approx w / 2\pi r v, \quad l_c \approx F_2 \lambda / \pi w. \quad (13)$$

В случаях, когда статистика создаваемого поля не является гауссовой, уравнение (6) не выполняется, как и соотношения (13). Тогда вместо (12) используем общее соотношение [5]

$$g^{(2)}(r - r', t - t') = 1 + |g^{(1)}(r - r', t - t')|^2 + \Delta g^{(2)}(r - r', t - t'), \quad (14)$$

содержащее новую отрицательно-значную функцию  $\Delta g^{(2)}(\rho, \tau)$ , определение которой — отдельная задача. Должны изменяться и соотношения (13).

Согласно представленным данным, а также микроскопическому исследованию диска и изображению светящегося пятна неподвижного диска в фокальной плоскости  $\Sigma_{L2}$ , на диске наряду с мелкими неоднородностями присутствуют крупные, размеры которых  $\Delta_r = 200$  мкм сопоставимы с размером пятна  $w$  на диске. Разные по размерам неоднородности диска проявляются наличием нескольких масштабов в зависимостях  $g^{(2)}(\rho, \tau)$ , для демонстрации которых использован специальный метод нелинейного отображения. Отсутствие в измеренных данных важных для интерпретации статистики рассеянных фотонов значений  $\hat{g}_\perp^{(2)}(0, j=0)$ , сильное искажение перекрестным эффектом ближайших к “центральному” детектору значений  $\hat{g}_\perp^{(2)}(0, |j|=1)$  (рис. 6), а также флуктуации  $\hat{g}_\perp^{(2)}(0, j)$  для “дальних” детекторов, ответственных за корреляции близко расположенных источников в плоскости диска  $D$ , можно восполнить и откорректировать с помощью отображения:

$$Y_{g,1}(j) = j/g(j) - j, \quad (15)$$

уменьшающего значения центральной области функции  $g(j)$  и увеличивающего ее “хвостовые” значения (“типерболический микроскоп”). Представленное на рис. 6, б отображение (15) измеренных значений  $\hat{g}_\perp^{(2)}(0, j)$  для конфигурации  $\Phi_3$  показывает нивелирование перекрестного эффекта для детекторов  $|j|=1$ , возможность “восстановления” центрального значения  $\hat{g}_\perp^{(2)}(0, 0)$ , а также разномасштабный характер функции  $\hat{g}_\perp^{(2)}(0, j)$ . В центральной области  $|j| \leq 5$  ( $\rho \leq 0.22$  мм) основным членом

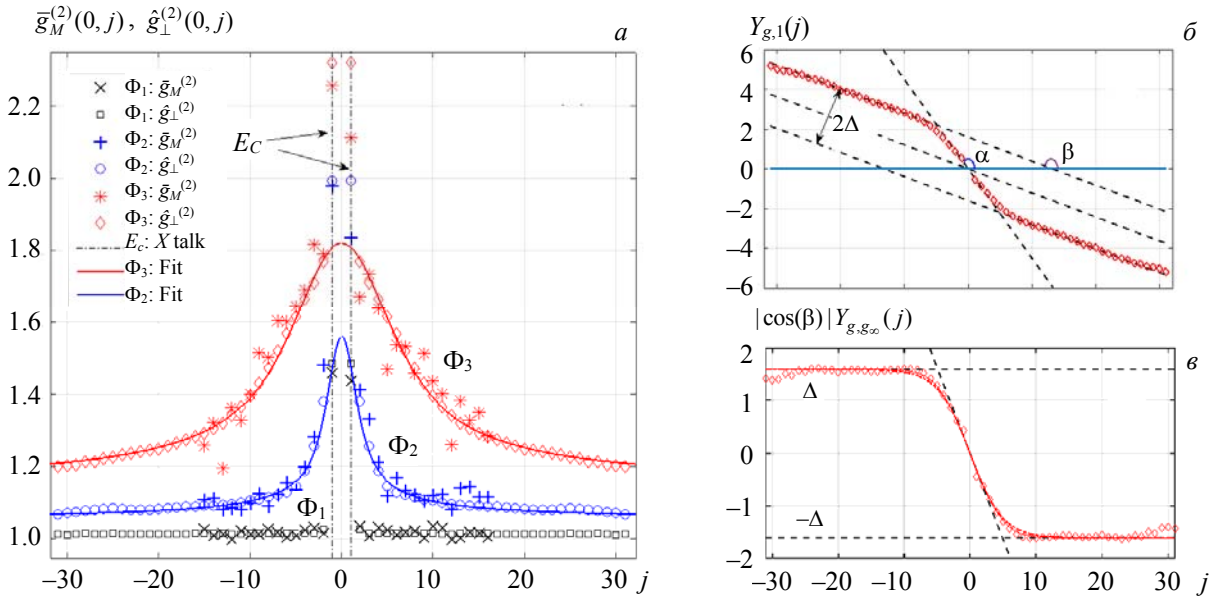


Рис. 6. *a* — Парные корреляции отсчетов  $\bar{g}_M^{(2)}(0, j)$  (8) выделенного детектора  $M = 496(15, 15)$  и детекторов ( $i_k = 15, j_k = 15 + j$ ),  $j = -15, \dots, -1, 1, \dots, 16$ , расположенных по горизонтальной линии для конфигураций  $\Phi_1 (\times)$ ,  $\Phi_2 (+)$  и  $\Phi_3 (*)$ ; усредненные значения  $\hat{g}_\perp^{(2)}(0, j)$ , ( $|j|=1, \dots, 31$ ) (11) —  $\Phi_1 (\square)$ ,  $\Phi_2 (o)$  и  $\Phi_3 (\diamond)$ ; аппроксимация данных  $\hat{g}_\perp^{(2)}(0, j)$  на основе отображения (15) —  $\Phi_2$  (сплошная синяя линия),  $\Phi_3$  (сплошная красная линия); вертикальные тонкие штриховые линии — значения корреляций отсчетов  $\bar{g}_M^{(2)}(0, j = M \pm 1)$  и  $\hat{g}_\perp^{(2)}(0, j = \pm 1)$  ближайших по горизонтали детекторов, для которых наиболее сильно проявляется перекрестный эффект; *б* — нелинейное отображение (15) данных  $\hat{g}_\perp^{(2)}(0, j)$  для конфигурации  $\Phi_3$ ; *в* — отображение (17) для данных, представленных на рис. 3, *б*, сплошная линия — аппроксимация сигмоидой  $\Sigma_{\text{eff}}(j)$ , штрихпунктир — сигмоидой  $\Sigma_{\text{th}}(j)$

функции (15) является линейная функция  $Y_{g,1} = k_\alpha j$  ( $k_\alpha = \operatorname{tg}\alpha \approx -0.4505$ ), при этом вычисляемое по наклону  $k_\alpha$  значение  $\hat{g}_\perp^{(2)}(0,0) = 1/(1+k_\alpha)$  для рассматриваемого случая равно 1.82. Корреляции с детекторами в дальней области  $|j| \geq 11$  ( $\rho \geq 0.491$  мм) также описываются линейной функцией  $Y_{g,1} = k_\beta j - \Delta\sqrt{1+k_\beta^2}\operatorname{sign}(j)$  с наклоном  $k_\beta = \operatorname{tg}\beta \approx -0.1213$  и сдвигом  $\Delta/|\cos\beta| \approx 1.6118$ ,  $\Delta \approx 1.60$ .

Продолжение функции  $\hat{g}_\perp^{(2)}(0,j)$  в область значений  $j$ , которые не доступны в данном эксперименте, предсказывает ее приближение к асимптотическому значению  $g_\infty = 1/(1+k_\beta) \approx 1.138$  по гиперболическому закону:  $\hat{g}_\perp^{(2)}(0,j) \approx 1/[1+k_\beta - (\Delta/|\cos\beta|)\operatorname{sign}(j)/j]$ . Сшивку областей с двумя наклонами  $k_\alpha$  и  $k_\beta$  удобно осуществить преобразованием

$$Y_{g,g_\infty}(j) = j/g(j) - j/g_\infty. \quad (16)$$

Функция  $|\cos(\beta)|Y_{g,g_\infty}(j)$  (рис. 6, *в*) имеет универсальный вид

$$|\cos(\beta)|Y_{g,g_\infty}(j) = -\Delta \Sigma(j), \quad (17)$$

где  $\Sigma(j)$  — сигмоида, например гиперболический тангенс  $\Sigma_{\text{th}}(j) = \operatorname{th}(kj/2)$  или функция ошибок  $\Sigma_{\text{erf}}(j) = \operatorname{erf}(j/\sigma\sqrt{2})$ . Соответственно, и сама функция  $\hat{g}_\perp^{(2)}(0,j)$  принимает универсальный вид

$$\hat{g}_\perp^{(2)}(0,j) = \frac{1}{1 + \operatorname{tg}\beta - \frac{\Delta}{|\cos\beta|} \frac{\Sigma(j)}{j}}, \quad (18)$$

где наклон сигмоиды  $\kappa_s = (d\Sigma/dj)_{j=0}$  выбран так, что  $\hat{g}_\perp^{(2)}(0,0) = 1/(1+\operatorname{tg}\alpha)$ :

$$\kappa_s = \frac{|\cos\beta|}{\Delta} (\operatorname{tg}\beta - \operatorname{tg}\alpha), \quad (19)$$

что для сигмоид  $\Sigma_{\text{th}}(j)$  и  $\Sigma_{\text{erf}}(j)$  означает  $k = 2\kappa_s \approx 0.4086$  и  $\sigma = \sqrt{2}/\pi\kappa_s^{-1} \approx 3.9053$ . Ординаты точек пересечения прямых на рис. 6, *б* равны  $\pm\kappa_s^{-1}$ , что соответствует середине переходной области. Условно можно считать, что приближение дальней области работает, начиная с  $2\kappa_s^{-1} \approx 9.7895$ . Функциональная зависимость (18) для конфигурации  $\Phi_3$  и сигмоиды  $\Sigma_{\text{erf}}(j)$  с найденными параметрами (рис. 6, *а*) демонстрирует хорошее согласие с экспериментальными значениями и наличие двух характерных масштабов.

Проведенный аналогичный анализ данных для поперечной степени корреляции  $\hat{g}_\perp^{(2)}(0,j)$  в конфигурации  $\Phi_2$  дал три параметра ( $k_\alpha = -0.3590$ ,  $k_\beta = -0.0512$ ,  $\Delta = 0.43$ ), определяющих функцию (18). Полученные параметры приводят к следующим характеристикам  $\hat{g}_\perp^{(2)}(0,j)$ :  $\hat{g}_\perp^{(2)}(0,0) = 1.56$ ,  $g_\infty = 1.054$ ,  $2\kappa_s^{-1} = 2.8150$  (рис. 6, *а*). Сравнение полученных характеристик с оценкой поперечной длины когерентности для случая мелкомасштабной неоднородности диска (13) показывают неплохое соответствие  $l_{c\Phi_2} = 0.121$  мм ( $2.71\delta_s$ ) и  $l_{c\Phi_3} = 0.533$  мм ( $11.94\delta_s$ ) с соответствующими значениями  $2\kappa_s^{-1}$ . Однако для обеих конфигураций значения  $l_{c\Phi_i}$  сравнимы или больше соответствующих радиусов пятен на диске  $w_2 = 0.141$  и  $0.032$  мм. Как результат, дальние корреляции при  $\rho \geq 2\kappa_s^{-1}$  не описываются гауссово распределениями в рамках соотношений (12), справедливых для тепловых источников, а представляют собой гиперболически спадающие функции.

Продольная когерентность пучков (рис. 3) в виде временной корреляционной функции  $\tilde{g}^{(2)}[a,b,t_S]$  хорошо аппроксимируется функцией (18), в которой пространственный аргумент  $j$  заменяется на временной  $t_S = ST_f$ . Полученные параметры ( $k_\alpha, k_\beta, \Delta$ ) для конфигураций  $\Phi_2$  ( $-0.4413, -2 \cdot 10^{-5}$ ,  $2.78 \cdot 10^{-6}$  с) и  $\Phi_3$  ( $-0.3245, -0.0375, 1.28 \cdot 10^{-6}$  с) для функции  $\tilde{g}^{(2)}[a,b,t_S]$  дают значения  $\tilde{g}^{(2)}[a,b,0]$ ,  $g_\infty$ ,  $2\kappa_s^{-1}$ : 1.4803, 1.039,  $8.93 \cdot 10^{-6}$  с в конфигурации  $\Phi_2$  и 1.79, 1.00002,  $1.26 \cdot 10^{-5}$  с в конфигурации  $\Phi_3$  (рис. 7). Сравнение полученных характеристик с оценкой времени когерентности для случая мелкомасштабной неоднородности диска (13) показывает, что  $t_{c\Phi_2} = 7.48 \cdot 10^{-5}$  с и  $t_{c\Phi_3} = 1.69 \cdot 10^{-5}$  с не соответствуют значениям  $2\kappa_s^{-1} = 8.93 \cdot 10^{-6}$  ( $\Phi_2$ ) и  $1.26 \cdot 10^{-5}$  с ( $\Phi_3$ ) прежде всего для конфигурации  $\Phi_2$  с большим радиусом пятна  $w_2$ . Последнее подтверждает, что корреляции определяются не размером пятна, а размером  $\Delta$ , присутствующим на нем неоднородностей.

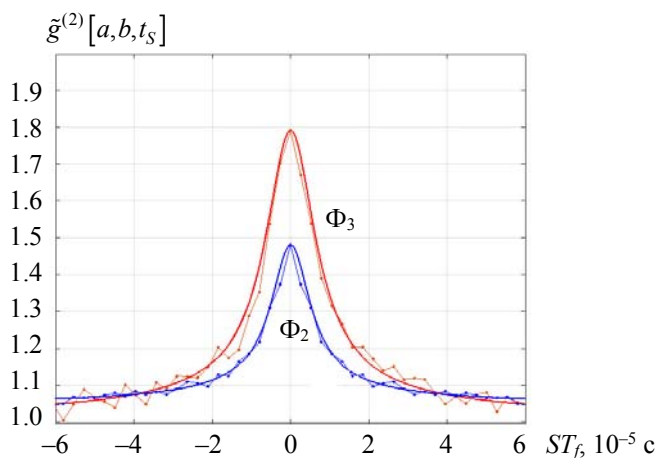


Рис. 7. Аппроксимация степени временной когерентности  $\tilde{g}^{(2)}[a, b, t_s]$  (5) с  $t_s = ST_f$ , представленной на рис. 3 для детекторов  $a = 496(15, 15)$  и  $b = 432(13, 15)$  при конфигурациях  $\Phi_2$  и  $\Phi_3$  (точки — эксперимент, сплошные — аппроксимация по (18))

**Заключение.** Представленные методы обработки “сырых” данных, получаемых высокоскоростной время-разрешающей матрицей детекторов одиночных фотонов, примененные к анализу пространственно-временных корреляций излучения, создаваемого при рассеянии на вращающемся диске с разномасштабными неоднородностями, позволили с помощью нелинейного отображения данных установить универсальный характер поведения степени корреляции второго порядка и определить его параметры для случая негауссовых флуктуаций исследуемого источника. Разработанные методы минимизации аппаратных искажений, дополненные теоретическими методами обработки, представляют собой инструмент исследования и создания стандартизованных источников коррелированных фотонов, необходимых, в частности, для получения и анализа фантомных изображений высокого пространственного разрешения.

Авторы благодарны А. Б. Михалычеву за полезные обсуждения результатов работы.

- [1] **Б. И. Степанов.** Введение в современную оптику, в 4-х т., Минск, Наука и техника (1991)
- [2] **Е. М. Брумберг, С. И. Вавилов.** Изв. АН СССР, VII сер., 7 (1933) 919—941
- [3] **С. И. Вавилов.** Микроструктура света: Исследования и очерки, Москва, АН СССР (1950)
- [4] **R. J. Glauber.** Phys. Rev., **130** (1963) 2529
- [5] **С. Я. Килин.** Квантовая оптика. Поля и их детектирование, Минск, Навука і тэхніка (1990)
- [6] **L. Mandel, E. Wolf.** Optical Coherence and Quantum Optics, Cambridge University Press (1995)
- [7] **R. Hanbury Brown, R. Q. Twiss.** Nature, **177** (1956) 27—29
- [8] **S. Chopra, L. Mandel.** Phys. Rev. Lett., **30** (1973) 60
- [9] **O. A. Ivanova, T. S. Iskhakov, A. N. Penin, M. V. Chekhova.** Quantum Electron., **36** (2006) 951—956
- [10] **B. Blauensteiner, I. Herbauts, S. Bettelli, A. Poppe, H. Hubel.** Phys. Rev. A, **79** (2009) 063846
- [11] **P. R. Tapster, J. G. Rarity.** J. Mod. Opt., **45** (1998) 595
- [12] **D. B. Horoshko, S. De Bièvre, G. Patera, M. I. Kolobov.** Phys. Rev. A, **100** (2019) 053831
- [13] **C. Santori, D. Fattal, J. Vuckovic, G. S. Solomon, Y. Yamamoto.** Nature, **419** (2002) 594—597
- [14] **X.-L. Chu, S. Götzinger, V. Sandoghdar.** Nat. Photonics, **11** (2017) 58—62
- [15] **B. Rodiek, M. Lopez, H. Hofer, G. Porrovecchio, M. Smid, X.-L. Chu, S. Gotzinger, V. Sandoghdar, S. Lindner, C. Becher, S. Kuck.** Optica, **4** (2017) 71—76
- [16] **J. Shi, G. Patera, D. B. Horoshko, M. I. Kolobov.** J. Opt. Soc. Am. B, **37**, N 12 (2020) 3741—3753
- [17] **D. S. Mogilevtsev, V. S. Shchesnovich.** Opt. Lett., **35** (2010) 3375
- [18] Квантовая криптография: идеи и практика, под ред. С. Я. Килина, Д. Б. Хорошко, А. П. Низовцева, Минск, Беларуская навука (2007)
- [19] **М. М. Эскандери, Д. Б. Хорошко, С. Я. Килин.** Журн. прикл. спектр., **86**, № 5 (2019) 717—720  
[**M. M. Eskandari, D. B. Horoshko, S. Ya. Kilin.** J. Appl. Spectr., **86** (2019) 806—809]

- [20] **S. L. Braunstein, H. J. Kimble.** Phys. Rev. Lett., **80** (1998) 869
- [21] **D. B. Horoshko, S. Ya. Kilin.** Phys. Rev. A, **61** (2000) 032304
- [22] **С. Я. Килин.** УФН, **169** (1999) 507
- [23] **M. Avenhaus, K. Laiho, M. V. Chekhova, C. Silberhorn.** Phys. Rev. Lett., **104** (2010) 063602
- [24] **А. В. Белинский, Д. Н. Клышко.** ЖЭТФ, **105** (1994) 487—493
- [25] **R. Bennink, S. Bentley, R. Boyd.** Phys. Rev. Lett., **89** (2002) 113601
- [26] **A. Gatti, E. Brambilla, M. Bache, L. A. Lugiato.** Phys. Rev. A, **70** (2004) 013802
- [27] **A. Gatti, M. Bache, D. Magatti, E. Brambilla, F. Ferri, L. A. Lugiato.** J. Mod. Opt., **53**, N 5-6 (2006) 739—760
- [28] **А. С. Чиркин.** Письма в ЖЭТФ, **103**, № 4 (2016) 309—313
- [29] **L. Gasparini, M. Zarghami, H. Xu, L. Parmesan, M. M. Garcia, M. Unternährer, B. Bessire, A. Stefanov, D. Stoppa, M. Perenzoni.** IEEE Int. Solid-State Circuits Conference-(ISSCC) (2018) 98—100
- [30] **M. Zarghami, L. Gasparini, M. Perenzoni L. Pancheri.** Instruments, **3**, N 3 (2019) 38—49
- [31] **W. Martienssen, E. Spiller.** Am. J. Phys., **32** (1964) 919—926
- [32] **T. Asakura.** Optoelectronics, **2** (1970) 115—123
- [33] **B. Crosignani, B. Daino, P. Di Porto.** J. Appl. Phys., **42** (1971) 399—403
- [34] **Y. Cai, Y. Chen, J. Yu, X. Liu, L. Liu.** Chapter Three – Generation of Partially Coherent Beams, Ed. Taco D. Visser, Progress in Optics, Elsevier, **62** (2017) 157—223
- [35] **Дж. Гудмен.** Введение в Фурье-оптику, Москва, Мир (1970)